

УДК 519.6:536.71

СРАВНИТЕЛЬНЫЙ АНАЛИЗ КВАЗИДИФФУЗИОННОГО ПОДХОДА И МЕТОДА УСРЕДНЕННЫХ КОСИНУСОВ ДЛЯ РЕШЕНИЯ КИНЕТИЧЕСКОГО УРАВНЕНИЯ ПЕРЕНОСА ИЗЛУЧЕНИЯ В РАССЕИВАЮЩЕЙ И ПОГЛОЩАЮЩЕЙ СРЕДЕ

А. С. Исакова, Н. Г. Карлыханов
(РФЯЦ-ВНИИТФ, г. Снежинск)

На примере расчета задач, имеющих известное численное и (или) аналитическое решение, проведено исследование свойств решений кинетического уравнения в рассеивающей и поглощающей среде, полученных методом квазидиффузии и методом усредненных косинусов. Показано, что метод усредненных косинусов с использованием разностной схемы на основе TVD-подхода дает, особенно в слоистых системах, более точное решение по сравнению с методом квазидиффузии, для которого построена традиционная разностная схема второго порядка точности.

Ключевые слова: перенос излучения, рассеивающая и поглощающая среда, квазидиффузия, одномоментные уравнения переноса с усредненными косинусами.

Введение

Ранее в работе [1] был проведен сравнительный анализ квазидиффузационного подхода и метода усредненных косинусов для решения кинетического уравнения переноса излучения в непоглощающей и нерассеивающей среде. Представляет интерес проведение подобного анализа с учетом поглощения и рассеяния.

В данной работе рассмотрен класс задач, в которых коэффициенты поглощения и рассеяния отличны от нуля. В оптически плотных средах при расчете потока излучения получается разность близких чисел, а это может привести к потере точности при вычислении коэффициентов усредненных косинусов. Но, как показали численные результаты, потеря точности при вычислении как коэффициентов усредненных косинусов, так и решения в целом не происходит.

В уравнении квазидиффузии в сферически-симметричной постановке присутствует член $(3D - 1)/r$, где D — коэффициент квазидиффузии, r — радиус. Известно, что при больших оптических толщинах коэффициент квазидиффузии стремится к значению $1/3$. В реальных расчетах коэффициент D вычисляется с конечной точностью и в общем случае немного отличен от $1/3$. Вблизи центра сферы ($r \rightarrow 0$) ошибка при вычислении этого члена может стать большой, что и наблюдается в численных расчетах. Зануление $(3D - 1)/r$ приводит к исчезновению немонотонности в центре рассчитываемой системы, что косвенно подтверждает потерю точности при вычислении указанного члена. При использовании метода усредненных косинусов данная проблема исчезает.

Постановка задачи

Коротко рассмотрим суть исследуемых подходов. Для простоты возьмем кинетическое уравнение переноса излучения в сферически-симметричном одномерном случае без учета движения среды:

$$\frac{1}{c} \frac{\partial I}{\partial t} + \frac{\partial (\mu r^2 I)}{r^2 \partial r} + \frac{\partial}{\partial \mu} \left(\frac{1 - \mu^2}{r} I \right) + (\kappa_a + \kappa_s) I = Q + \frac{\kappa_s}{2} \int_{-1}^1 I d\mu. \quad (1)$$

Здесь используются стандартные обозначения: I — интенсивность излучения; κ_a, κ_s — коэффициенты поглощения и рассеяния излучения соответственно; μ — косинус угла полета фотона относительно нормали к поверхности сферы; c — скорость света; Q — изотропный источник излучения; r — пространственная координата; t — время.

Уравнение (1) дополняется начальными условиями, вид которых несущественен для дальнейшего изложения, и граничными условиями двух видов:

- 1) $I(r_{left}, \mu > 0) = f_{left}(\mu, t)$ на левой границе; $I(r_{right}, \mu < 0) = f_{right}(\mu, t)$ на правой границе, где $f_{left}(\mu, t), f_{right}(\mu, t)$ — заданные функции;
- 2) условие симметрии: $I(r_{left}, \mu) = I(r_{left}, -\mu)$ на левой границе; $I(r_{right}, \mu) = I(r_{right}, -\mu)$ на правой границе.

Рассмотрим квазидиффузационный подход. Если проинтегрировать уравнение (1) дважды, сначала с весом 1, затем с весом μ , то получится следующая система уравнений:

$$\frac{\partial U}{\partial t} + \frac{\partial r^2 S}{r^2 \partial r} + c \kappa_a U = 2Q; \quad (2)$$

$$\frac{1}{c^2} \frac{\partial S}{\partial t} + \frac{\partial D U}{\partial r} + \frac{3D - 1}{r} U + c^{-1} (\kappa_a + \kappa_s) S = 0. \quad (3)$$

Здесь введены обозначения: $U = \frac{1}{c} \int_{-1}^1 I d\mu$; $S = \int_{-1}^1 \mu I d\mu$;

$$D = \frac{\int_{-1}^1 \mu^2 I d\mu}{\int_{-1}^1 I d\mu}. \quad (4)$$

В реальных расчетах коэффициент квазидиффузии, вычисленный по формуле (4), заменяется близким ему значением по алгоритму, описанному в работе [2]. Данный алгоритм обеспечивает выполнение диффузационного предела на любых сетках по угловой переменной и при использовании любых схем интегрирования по угловой переменной.

Система (2), (3) является системой уравнений квазидиффузии, которая дополняется граничными условиями вида

$$S = \alpha_s U + \beta_s, \quad (5)$$

где

$$\alpha_s = \frac{\int_{-1}^0 \mu I d\mu}{\int_{-1}^1 I d\mu}; \quad \beta_s = \int_0^1 \mu f(\mu, t) d\mu.$$

Условие (5) задается как на левой, так и на правой границе.

Уравнения (2), (3) на равномерной сетке по пространству и с использованием двухслойной схемы по времени аппроксимируются следующим образом:

$$\begin{aligned} \frac{U_{i+1/2}^{n+1} - U_{i+1/2}^n}{\tau} + \frac{r_{i+1}^2 S_{i+1}^{n+1} - r_i^2 S_i^{n+1}}{h_{i+1/2}} + c \kappa_{a,i+1/2} U_{i+1/2}^{n+1} &= 2Q_{i+1/2}; \\ \frac{1}{c^2} \frac{S_i^{n+1} - S_i^n}{\tau} + \frac{D_{i+1/2} U_{i+1/2}^{n+1} - D_{i-1/2} U_{i-1/2}^{n+1}}{r_{i+1/2} - r_{i-1/2}} + \frac{3D_i - 1}{r_i} \frac{U_{i+1/2}^{n+1} + U_{i-1/2}^{n+1}}{2} + \\ &+ c^{-1} (\kappa_{a,i} + \kappa_{s,i}) S_i^{n+1} = 0, \end{aligned} \quad (6)$$

где $h_{i+1/2} = \frac{r_{i+1}^3 - r_i^3}{3}$; $D_i = \frac{D_{i+1/2} + D_{i-1/2}}{2}$; $\kappa_{a,i} = \frac{\kappa_{a,i+1/2} + \kappa_{a,i-1/2}}{2}$; $\kappa_{s,i} = \frac{\kappa_{s,i+1/2} + \kappa_{s,i-1/2}}{2}$.

Приведем подобные слагаемые в уравнении (6):

$$F_i S_i^{n+1} = -A_i U_{i+1/2}^{n+1} + B_i U_{i-1/2}^{n+1} + C_i.$$

Здесь

$$F_i = \frac{1}{c^2 \tau} + c^{-1} (\kappa_{a,i} + \kappa_{s,i}), \quad F_i > 0;$$

коэффициенты A_i , B_i имеют следующий вид:

$$A_i = \frac{D_{i+1/2}}{r_{i+1/2} - r_{i-1/2}} + \frac{3D_i - 1}{2r_i}; \quad B_i = \frac{D_{i-1/2}}{r_{i+1/2} - r_{i-1/2}} - \frac{3D_i - 1}{2r_i}.$$

Легко заметить, что коэффициенты A_i , B_i могут быть знакопеременными из-за члена $3D_i - 1$, поскольку $0 < D_i < 1$. Отрицательность одного из этих коэффициентов физически означает перетекание излучения от ячейки с меньшей плотностью энергии излучения к ячейке с большей плотностью, что является термодинамически неустойчивым процессом. Это может привести к неустойчивости счета. Чтобы избежать этого, поступаем следующим образом.

Если данные коэффициенты положительны, то оставляем их без изменения.

Если коэффициент A_i отрицательный, то коэффициенты пересчитываются по формулам

$$A_i = \frac{D_{i+1/2}}{r_{i+1/2} - r_{i-1/2}}; \quad B_i = \frac{D_{i-1/2}}{r_{i+1/2} - r_{i-1/2}} - \frac{3D_i - 1}{2r_i}.$$

Если коэффициент B_i отрицательный, то коэффициенты пересчитываются по следующим формулам:

$$A_i = \frac{D_{i+1/2}}{r_{i+1/2} - r_{i-1/2}} + \frac{3D_i - 1}{2r_i}; \quad B_i = \frac{D_{i-1/2}}{r_{i+1/2} - r_{i-1/2}}.$$

Данный подход понижает порядок аппроксимации, но обеспечивает устойчивость счета.

Введя обозначение

$$\langle \mu \rangle = \frac{S}{cU},$$

уравнение (2) можно записать в виде

$$\frac{\partial U}{\partial t} + \frac{\partial r^2 \langle \mu \rangle cU}{r^2 \partial r} + c\kappa_a U = 2Q, \quad (7)$$

где $\langle \mu \rangle$ — средний косинус направления полета фотонов. Уравнение (7) дополняется граничными условиями:

$U_{left} = \frac{1}{c} \int_0^1 f_{left}(\mu, t) d\mu$ на левой границе, если $\langle \mu \rangle > 0$; если $\langle \mu \rangle < 0$, то граничное условие не задается;

$U_{right} = \frac{1}{c} \int_{-1}^0 f_{right}(\mu, t) d\mu$ на правой границе, если $\langle \mu \rangle < 0$; если $\langle \mu \rangle > 0$, то граничное условие не задается.

При задании на границах условия симметрии полагаем в граничных точках $\langle \mu \rangle = 0$.

Для уравнения (7) метод решения и разностная аппроксимация приведены в работе [3]. В настоящей работе для аппроксимации производной по времени применяется трехслойная разностная схема [4].

Постановка расчетов

Рассматриваются две методические задачи, имеющие аналитическое решение, и задача из работы [5]. В расчетах использовались равномерные сетки по пространственной и угловой переменным. При вычислении коэффициента квазидиффузии, чтобы обеспечить выполнение свойства диффузационного предела, используется прием, описанный в [2].

Задача 1. Рассмотрим задачу в плоской геометрии о распространении излучения в поглощающей, но нерассеивающей среде ($\kappa_a \neq 0, \kappa_s = 0$). В начальный момент времени интенсивность излучения во всей системе равна нулю, заданы коэффициент κ_a и изотропный источник излучения Q .

Дополнительно заданы граничные условия $f_{left}(\mu, t) = 0; f_{right}(\mu, t) = 0$.

Задача имеет аналитическое решение* в области $0 \leq x \leq X$ на момент установления стационарного режима:

$$\begin{aligned} U &= -\frac{Q}{\kappa_a} \left\{ -2 + \kappa_a \left[(x - X) Ei(\kappa_a(X - x)) - x Ei(\kappa_a x) \right] + \exp(\kappa_a(x - X)) + \exp(-\kappa_a x) \right\}; \\ \langle \mu \rangle &= \frac{1}{2} \frac{Q}{\kappa_a U} \left\{ \kappa_a^2 \left[(x - X)^2 Ei(\kappa_a(X - x)) - x^2 Ei(\kappa_a x) \right] + \right. \\ &\quad \left. + \kappa_a(x - X) \exp(\kappa_a(x - X)) + \exp(\kappa_a(x - X)) + (\kappa_a x - 1) \exp(-\kappa_a x) \right\}; \\ D &= -\frac{1}{6} \frac{Q}{\kappa_a U} \left\{ \kappa_a^3 \left[(x - X)^3 Ei(\kappa_a(X - x)) - x^3 Ei(\kappa_a x) \right] + \right. \\ &\quad \left. + \kappa_a(x - X) \exp(\kappa_a(x - X)) + \exp(-\kappa_a x) \left[2 + \kappa_a x (\kappa_a x - 1) \right] + \right. \\ &\quad \left. + 2 \exp(\kappa_a(x - X)) + \exp(\kappa_a(x - X)) (x - X)^2 - 4 \right\}. \end{aligned}$$

Здесь $Ei(x) = \int_1^\infty \frac{\exp(-xy)}{y} dy$ — интегральная показательная функция.

Задача рассчитывалась при значениях параметров κ_a и Q , заданных в табл. 1. Расчеты проводились в области $0 \leq x < 1$ до момента времени $ct = 5$ (момент установления стационарного режима). Сетки, выбранные для расчетов, приведены в табл. 2. Шаг по времени τ был взят равным 10^{-2} .

Таблица 1

Задача 1. Параметры расчетной системы

κ_a	Q
1	0,5
10	5
100	50

Таблица 2

Задача 1. Расчетные сетки

Номер сетки	Число точек по пространству	Число точек по углу
1	10	5
2	20	9
3	40	17
4	80	33
5	160	65

Задача 2. Эта задача заимствована из работы [6]. Рассматривается задача в сферической геометрии о распространении излучения в поглощающей, но нерассеивающей среде ($\kappa_a \neq 0; \kappa_s = 0$). В начальный момент времени интенсивность излучения во всей системе равна нулю, заданы коэффициент κ_a и изотропный источник излучения Q .

Дополнительно заданы граничные условия $f_{left}(\mu, t) = f_{left}(-\mu, t); f_{right}(\mu, t) = \exp(\kappa_a R) - \exp(\kappa_a R |\mu|)$, где R — радиус системы.

*Аналитическое решение получено авторами.

Задача имеет аналитическое решение в области $0 \leq r \leq R$ на момент установления стационарного режима:

$$U = \frac{2 \exp(\kappa_a R) \kappa_a r - \exp(\kappa_a r) + \exp(-\kappa_a r)}{\kappa_a r};$$

$$\langle \mu \rangle = \frac{1}{\kappa_a^2 r^2} \frac{\kappa_a r (\exp(\kappa_a r) + \exp(-\kappa_a r)) - \exp(\kappa_a r) + \exp(-\kappa_a r)}{U};$$

$$D = -\frac{1}{3 \kappa_a^3 r^3 U} \left[3 \kappa_a^2 r^2 (\exp(\kappa_a r) - \exp(-\kappa_a r)) - 2 \kappa_a^3 r^3 \exp(\kappa_a R) - 6 \exp(\kappa_a r) (\kappa_a r - 1) + 6 \exp(-\kappa_a r) (\kappa_a r + 1) \right].$$

Задача рассчитывалась при значениях параметров, приведенных в табл. 3. Расчеты проводились в области $0 \leq r < 1$ до момента времени $ct = 5$ (момент установления стационарного режима). Использованные при расчетах сетки приведены в табл. 4. Шаг по времени τ был взят равным 10^{-2} .

Таблица 3

Задача 2. Параметры расчетной системы

κ_a	Q
1	$\exp(R)$
10	$\exp(10R)$
100	$\exp(100R)$

Таблица 4

Задача 2. Расчетные сетки

Номер сетки	Число точек по пространству	Число точек по углу
1	10	5
2	20	9
3	40	17
4	80	33
5	160	65
6	320	129

Задача 3. Эта задача заимствована из статьи [5]. Рассматривается задача в сферической геометрии о распространении излучения в поглощающей и в рассеивающей среде ($\kappa_a \neq 0$; $\kappa_s \neq 0$). В начальный момент времени интенсивность излучения во всей системе равна нулю, заданы коэффициенты κ_a , κ_s и изотропный источник излучения Q .

Задача дополнялась граничными условиями $f_{left}(\mu, t) = f_{left}(-\mu, t)$; $f_{right}(\mu, t) = 1$.

Расчеты проводились в области $0 \leq r < 13$, состоящей из семи подобластей, до момента времени $ct = 5000$ (момент установления стационарного режима). Значения параметров, использованные при расчетах каждой подобласти, заданы в табл. 5, расчетные сетки — в табл. 6. Шаг по времени τ выбирался автоматически.

За *точное* решение приняты численные результаты по данной задаче, любезно предоставленные авторами статьи [5].

Таблица 5

Задача 3. Параметры расчетной системы

Параметр	Подобласть						
	1	2	3	4	5	6	7
r	[0,2]	[2,3]	[3,5]	[5,6]	[6,8]	[8,10]	[10,13]
κ_{tot}	50	5	0,001	70	0,001	50	0,001
κ_a	50	5	0	60	0,001	50	0
κ_s	0	0	0,001	10	0	0	0,001
Q	25	0	0	25	0	0	0

Таблица 6

Задача 3. Расчетные сетки

Номер сетки	Число точек по пространству	Число точек по углу
1	60	9
2	120	17
3	240	33
4	480	65
5	960	129

Все задачи на каждом временном шаге рассчитывались в два этапа.

На первом этапе рассчитывалось уравнение переноса (1) по трехслойной схеме второго порядка аппроксимации по времени и по схеме TVD как по пространству, так и по угловой переменной с ограничителем Чакравати—Ошера [7].

На втором этапе выполнялся один из следующих расчетов:

- уравнения с усредненными косинусами по трехслойной схеме второго порядка аппроксимации по времени и по схеме TVD по пространству с ограничителем Чакравати—Ошера (расчет SMU);
- уравнений квазидиффузии по трехслойной схеме второго порядка аппроксимации по времени и по пространству (расчет KD);
- комбинации уравнений для усредненных косинусов и квазидиффузии по схеме второго порядка аппроксимации по времени и по пространству (расчет SMU+KD).

В качестве критерия точности выбрано отклонение численного решения от точного в норме L_2 , рассчитанное по следующей формуле:

$$\Delta R_{\|L_2\|} = \frac{\sqrt{\int_{r_l}^{r_r} (R_a - R_c)^2 dr}}{\int_{r_l}^{r_r} |R_a| dr} \cdot 100 \%,$$

где R_a — точное решение, R_c — численное решение; r_l , r_r — координаты границ рассчитываемой системы.

Исследование точности вычисления коэффициентов усредненных косинусов и коэффициентов квазидиффузии на модельных задачах

На рис. 1—6 (см. также цветную вкладку) представлены профили коэффициентов квазидиффузии и усредненных косинусов для задач 1 и 2.

Из профилей коэффициентов квазидиффузии видно, что они с достаточной точностью описывают аналитическое решение, хотя для обеих задач при $\kappa_a = 1$ (см. рис. 1 а, 4 а) коэффициент квазидиффузии немного отклонился от точного решения.

Коэффициенты усредненных косинусов не претерпевают разрывов и, как видно из рисунков, хорошо описывают аналитическое решение.

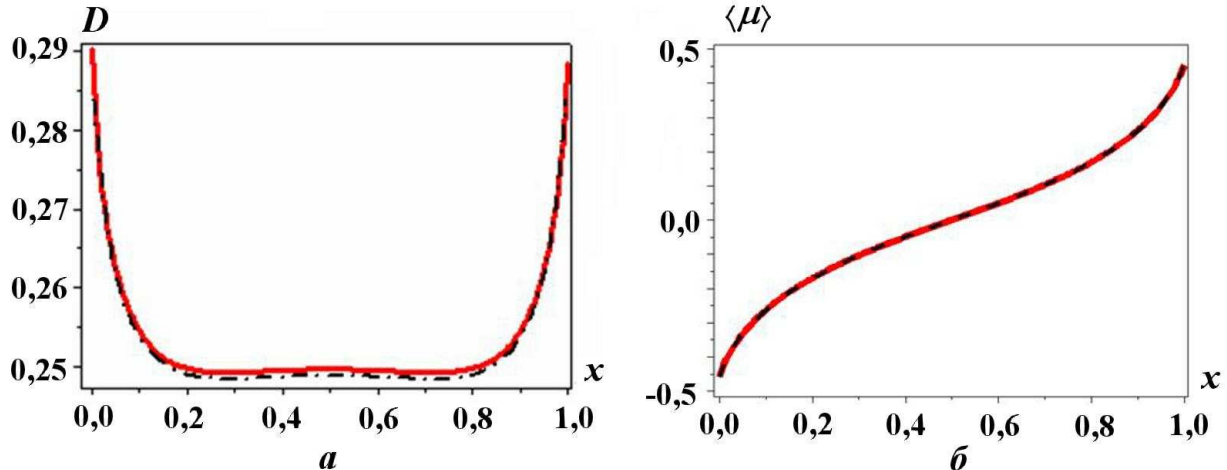


Рис. 1. Задача 1. Профили коэффициентов квазидиффузии (а) и усредненных косинусов (б) на момент установления стационарного режима, полученные на сетке 5; $\kappa_a = 1$; $Q = 0,5$: — — — аналитическое решение; — — — SMU; — · — — KD

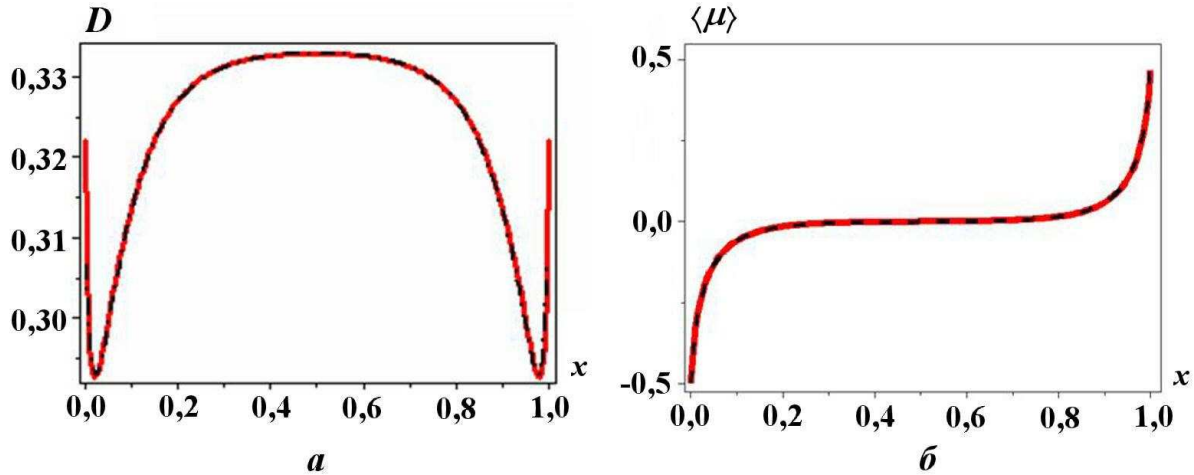


Рис. 2. Задача 1. Профили коэффициентов квазидиффузии (a) и усредненных косинусов (β) на момент установления стационарного режима, полученные на сетке 5; $\kappa_a = 10$; $Q = 5$: — аналитическое решение; —— SMU; -·-·- — KD

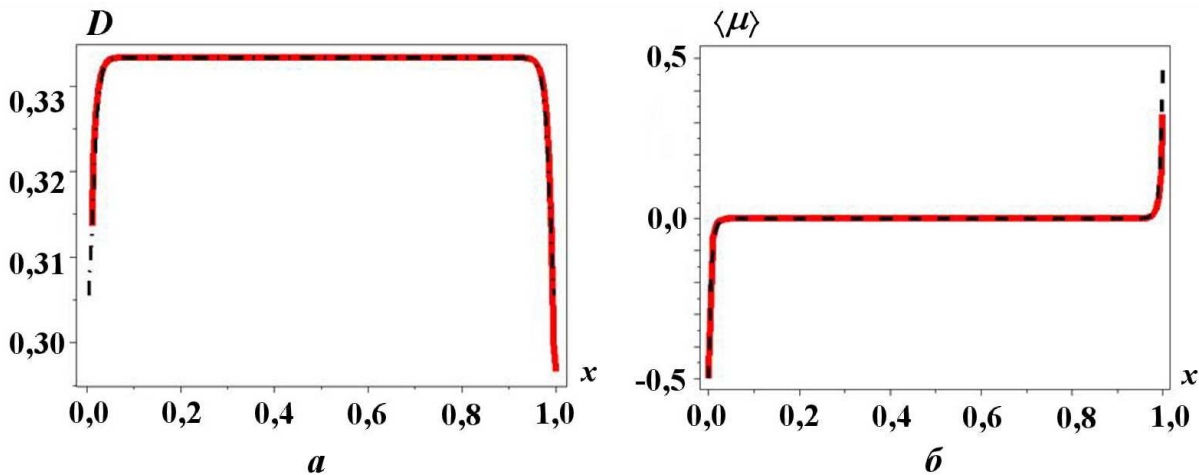


Рис. 3. Задача 1. Профили коэффициентов квазидиффузии (a) и усредненных косинусов (β) на момент установления стационарного режима, полученные на сетке 5; $\kappa_a = 100$; $Q = 50$: — аналитическое решение; —— SMU; -·-·- — KD

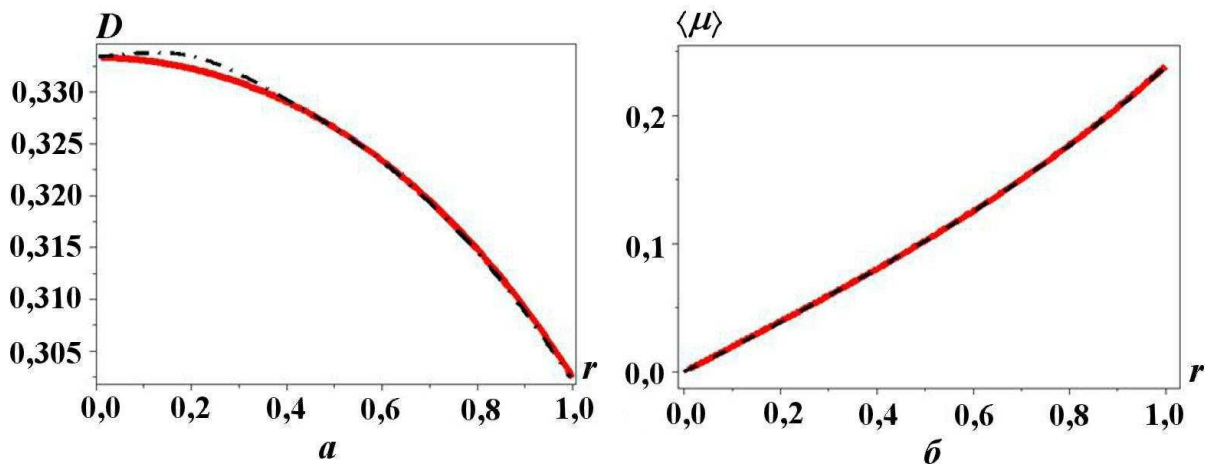


Рис. 4. Задача 2. Профили коэффициентов квазидиффузии (a) и усредненных косинусов (β) на момент установления стационарного режима, полученные на сетке 5; $\kappa_a = 1$: — аналитическое решение; —— SMU; -·-·- — KD

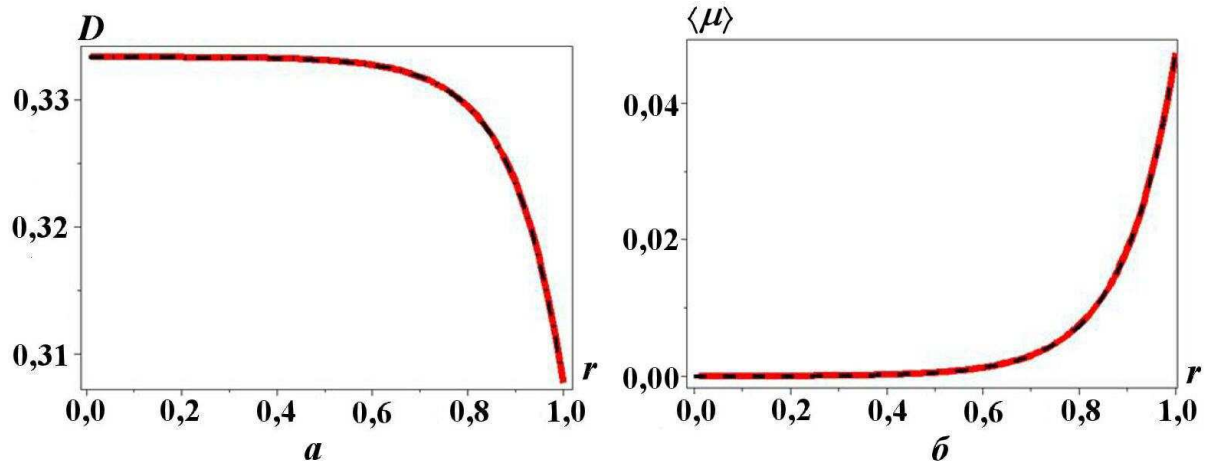


Рис. 5. Задача 2. Профили коэффициентов квазидиффузии (a) и усредненных косинусов (β) на момент установления стационарного режима, полученные на сетке 5; $\kappa_a = 10$: — аналитическое решение; —— SMU; -·-·- KD

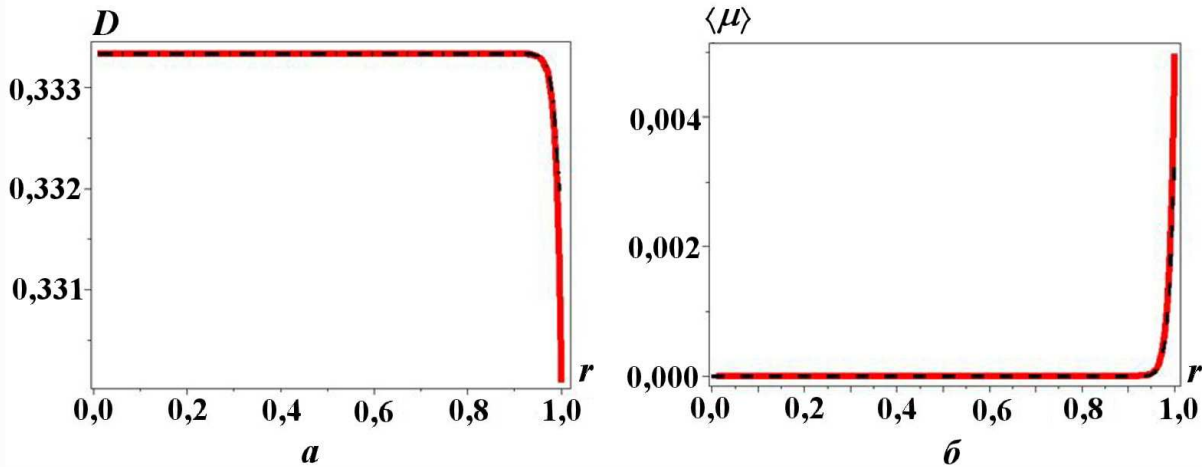


Рис. 6. Задача 2. Профили коэффициентов квазидиффузии (a) и усредненных косинусов (β) на момент установления стационарного режима, полученные на сетке 5; $\kappa_a = 100$: — аналитическое решение; —— SMU; -·-·- KD

Исследование точности решений, полученных методом усредненных косинусов и методом квазидиффузии, на модельных задачах

На рис. 7 представлены решения задачи 1. Видно, что аналитическое решение хорошо согласуется с решениями, полученными как из уравнения с усредненными косинусами, так и из уравнений квазидиффузии.

Из табл. 7 и графиков сходимости (рис. 8) хорошо видно, что для задачи 1 метод усредненных косинусов дает более точный результат по сравнению с квазидиффузионным методом.

На рис. 9, 10 представлены решения задачи 2, а в табл. 8 — отклонения численных решений от аналитического.

Несмотря на то, что коэффициенты D и $\langle \mu \rangle$ для этой задачи при $\kappa_a = 1$ вычислены с хорошей точностью (см. рис. 4), полученные решения, особенно вблизи центра, отличаются от аналитического. Это относится к решениям, полученным как по методу квазидиффузии, так и по методу усредненных косинусов.

Увеличение оптической толщины рассчитываемой системы не сказывается на точности вычисления коэффициентов D и $\langle \mu \rangle$, в то время как результаты расчетов в целом, выполненные по методу квазидиффузии, начинают проявлять немонотонные свойства. По мнению авторов, это связано с

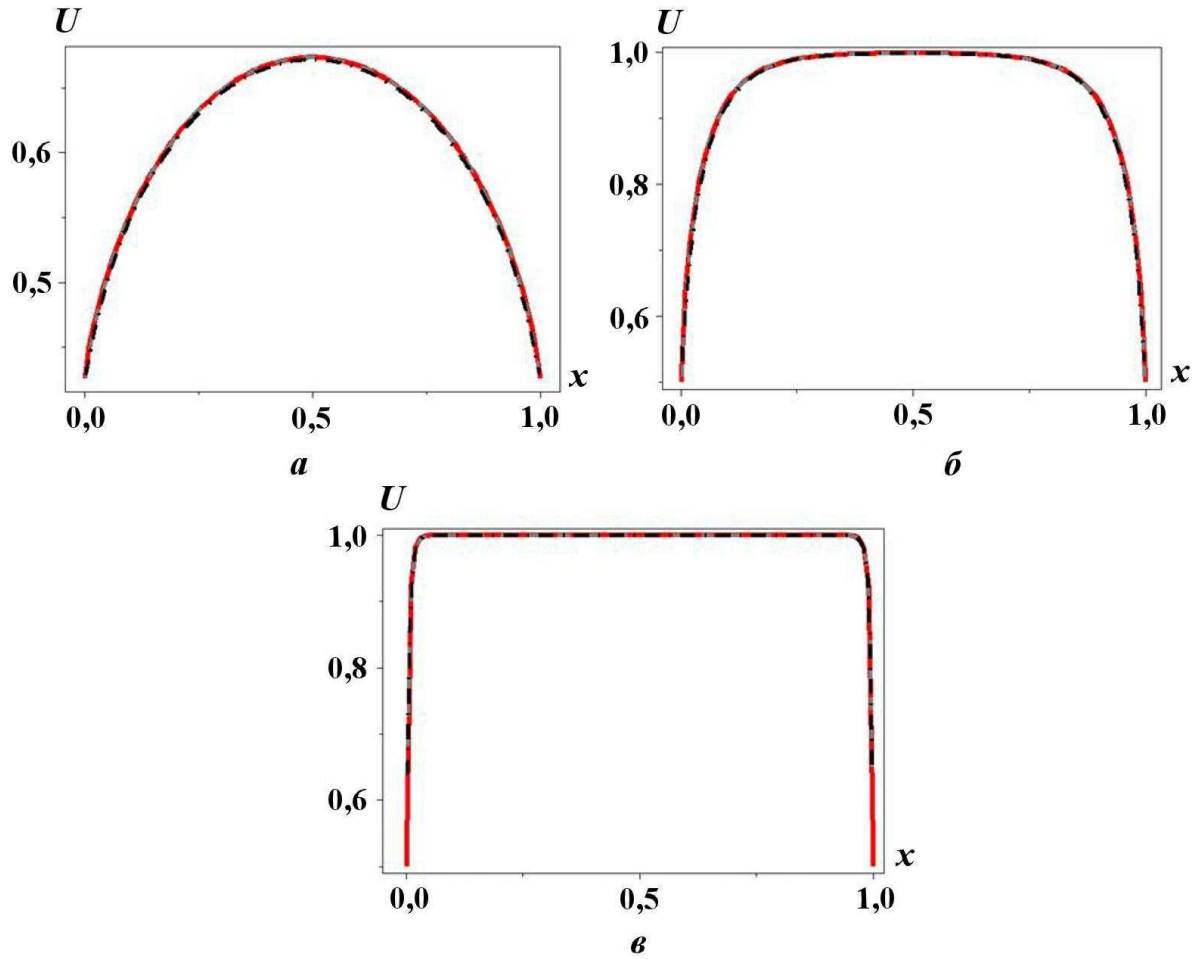


Рис. 7. Задача 1. Профили плотности энергии излучения на момент установления стационарного режима, полученные на сетке 5: $a - \kappa_a = 1; Q = 0,5$; $b - \kappa_a = 10; Q = 5$; $c - \kappa_a = 100; Q = 50$; — аналитическое решение; — — — SMU; - · - · — KD

Таблица 7

Задача 1. Отклонение (%) численного решения от аналитического в норме L_2

Номер сетки	$\kappa_a = 1; Q = 0,5$		$\kappa_a = 10; Q = 5$		$\kappa_a = 100; Q = 50$	
	KD	SMU	KD	SMU	KD	SMU
1	4,633	4,004	4,018	3,89	—	—
2	3,105	1,894	2,665	2,657	1,796	1,713
3	2,031	0,804	1,741	1,616	1,657	1,54
4	1,331	0,331	1,123	0,75	1,262	1,182
5	0,856	0,151	0,735	0,299	0,507	0,509

теоремой Годунова о невозможности построить схему второго порядка точности для уравнения гиперболического типа, а также обусловлено потерей точности при вычислении выражения $(3D - 1)/r$.

Как видно из рис. 11, для оптически умеренных сред метод усредненных косинусов и метод квазидиффузии имеют одинаковую скорость сходимости к точному решению в норме L_2 . С измельчением сетки, когда оптическая толщина ячейки $\kappa_a \Delta r$ становится меньше единицы, решение, получаемое по методу квазидиффузии, претерпевает сильные осцилляции (см. рис. 10).

Для сетки 6 авторам не удалось получить решение задачи 2 по методу квазидиффузии при $\kappa_a = 10$ из-за неустойчивого счета вблизи центра.

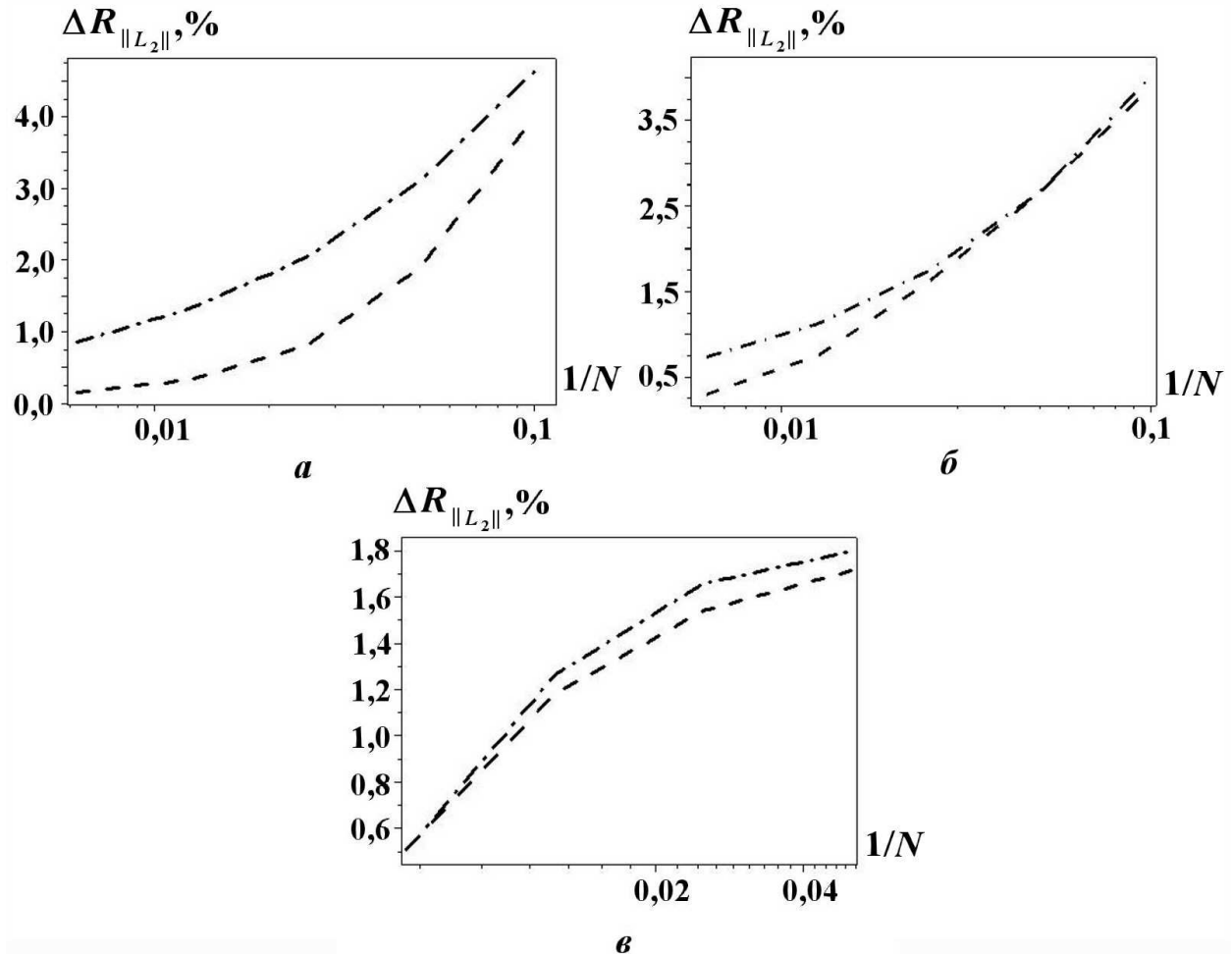


Рис. 8. Задача 1. Скорости сходимости в норме L_2 по пространственной и угловой переменным: *a* — $\kappa_a = 1$; $Q = 0,5$; *b* — $\kappa_a = 10$; $Q = 5$; *c* — $\kappa_a = 100$; $Q = 50$; — — — SMU; — · — KD (N — число расчетных точек)

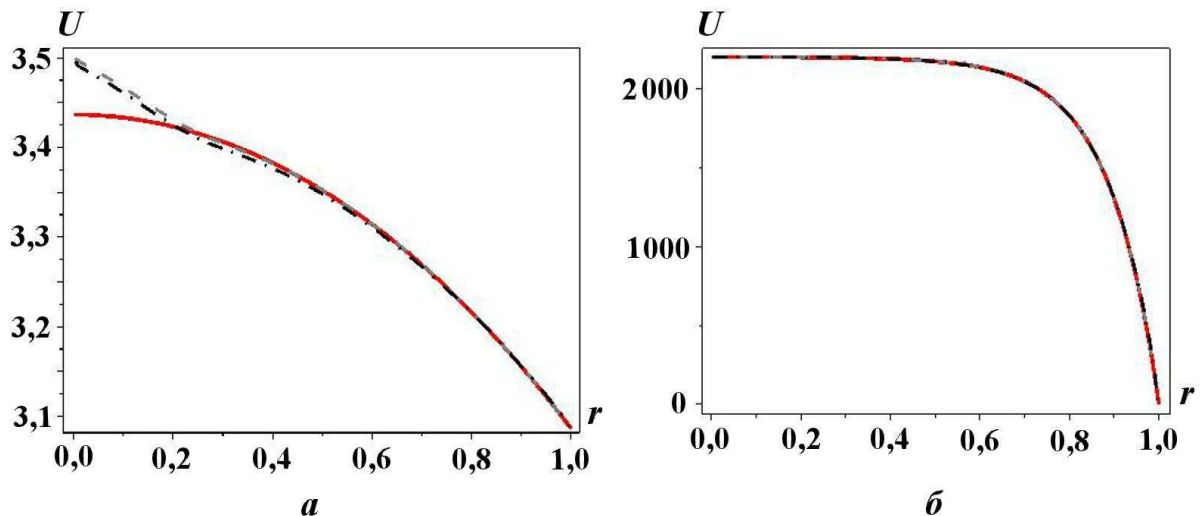


Рис. 9. Задача 2. Профили плотности энергии излучения на момент времени $ct = 5$ на сетке 5: *a* — $\kappa_a = 1$; *b* — $\kappa_a = 10$; — — — аналитическое решение; — — — SMU; — · — KD

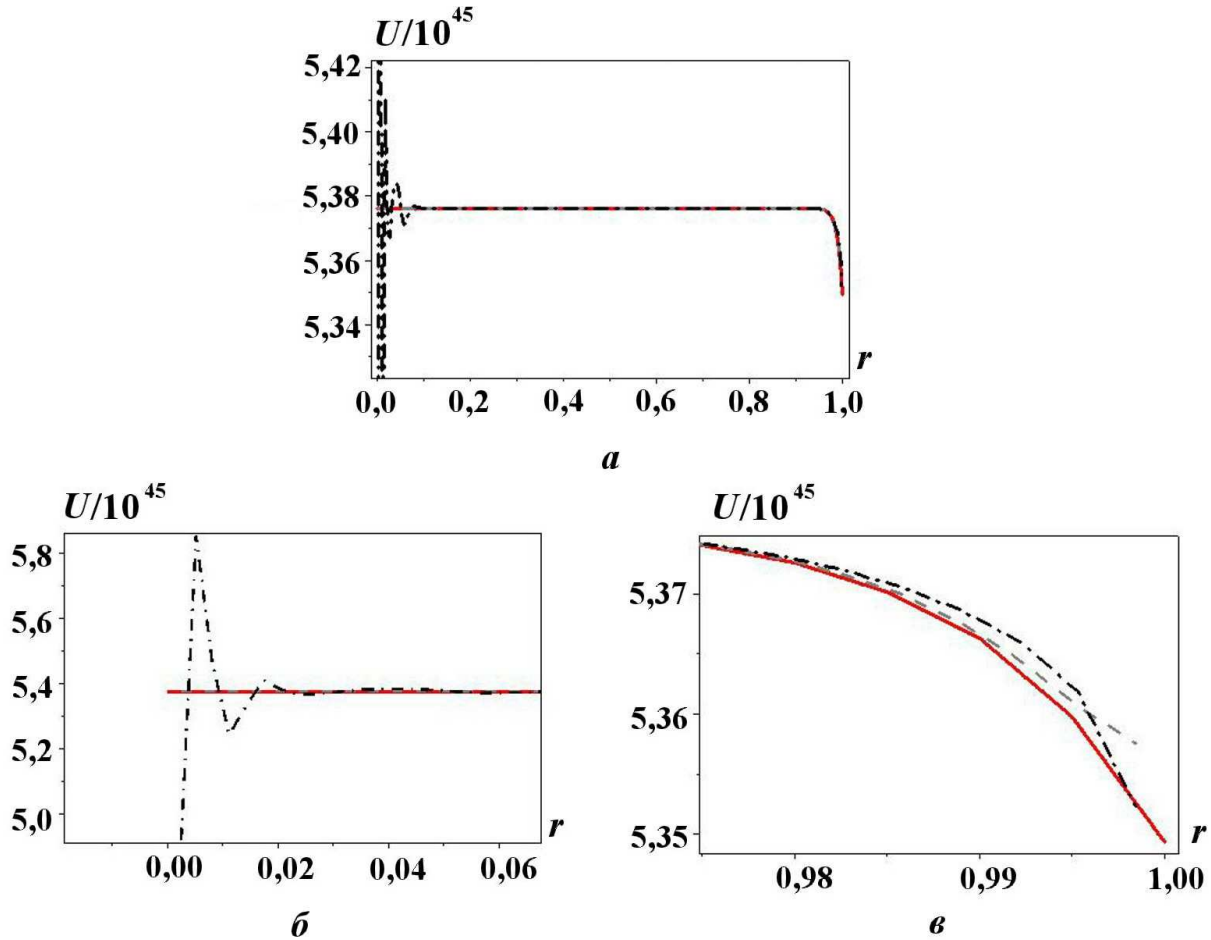


Рис. 10. Задача 2. Профиль плотности энергии излучения (a) и увеличенные фрагменты для левой (б) и правой (в) границ на момент времени $ct = 5$ на сетке 6; $\kappa_a = 100$: — аналитическое решение; - - - SMU; - · - - - KD

Таблица 8

Задача 2. Отклонение (%) численного решения от аналитического в норме L_2

Номер сетки	$\kappa_a = 1$		$\kappa_a = 10$		$\kappa_a = 100$	
	KD	SMU	KD	SMU	KD	SMU
1	12,382	13,255	11,413	12,727	—	—
2	5,327	6,131	5,265	5,589	—	—
3	2,368	2,702	2,159	1,723	—	—
4	1,028	1,165	0,879	0,443	3,762	3,592
5	0,442	0,497	0,359	0,0942	1,821	2,077
6	0,189	0,209	—	0,0297	119,209	0,848

В задаче 3 в подобласти 2 (см. табл. 5) коэффициент усредненных косинусов имеет разрыв. Несмотря на это, решение, полученное по методу усредненных косинусов, хорошо согласуется с точным (рис. 12). Для данной ситуации не наблюдается потери точности решения для метода усредненных косинусов, которая проявлялась в оптически прозрачных средах [1]. По мнению авторов, это обусловлено тем, что в подобласти 2 присутствует коэффициент поглощения, отличный от нуля, выступающий в качестве диссипативного члена.

Задача 3 рассчитывалась по методам усредненных косинусов, квазидиффузии и комбинированному методу с учетом алгоритма склейки [1].

Из рис. 13 видно, что скорость сходимости к точному решению существенно выше у метода усредненных косинусов. Алгоритм склейки практически не оказал никакого влияния на точность получаемого решения.

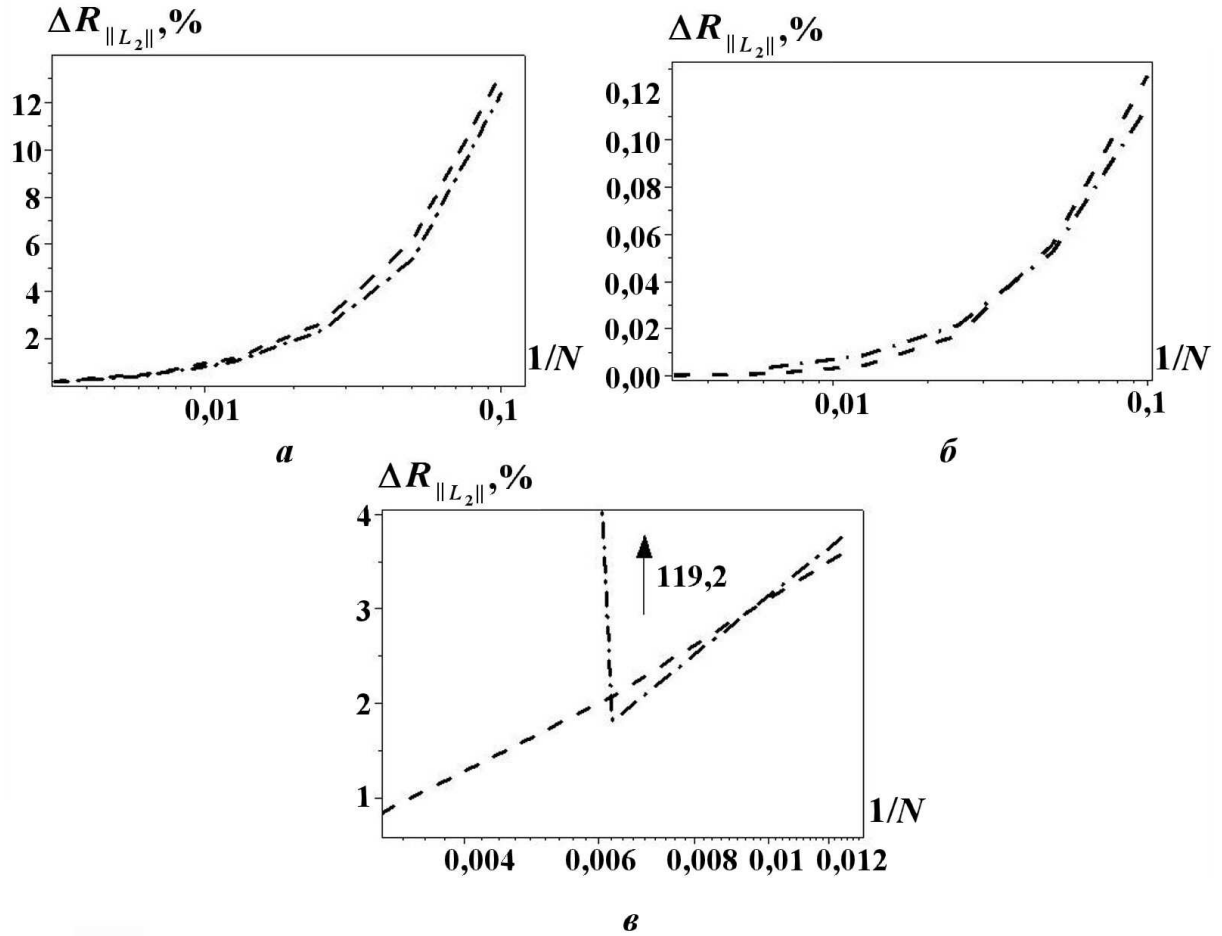


Рис. 11. Задача 2. Скорости сходимости в норме L_2 по пространственной и угловой переменным: *a* — $\kappa_a = 1$; *б* — $\kappa_a = 10$; *в* — $\kappa_a = 100$; — SMU; -·-·- KD (N — число расчетных точек)

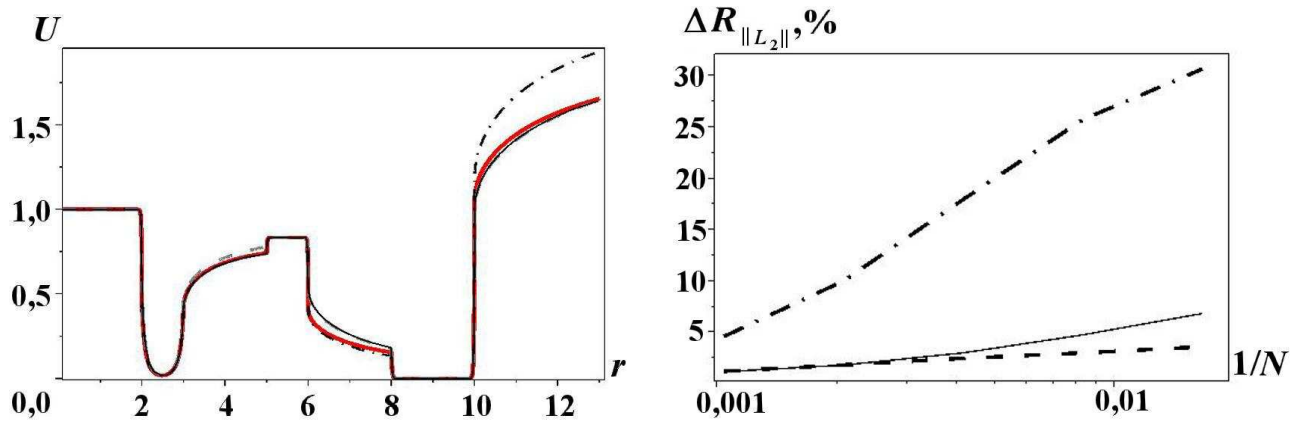


Рис. 12. Задача 3. Профиль плотности энергии излучения на момент времени $ct = 5000$ на сетке 5: — точное решение; — SMU; -·-·- KD; — SMU+KD

Рис. 13. Задача 3. Скорость сходимости в норме L_2 по пространственной и угловой переменным: — SMU; -·-·- KD; — SMU+KD

Заключение

На основе проведенных исследований показано, что метод усредненных косинусов имеет определенные преимущества перед методом квазидиффузии в широком диапазоне оптических толщин. Опасение по поводу потери точности решения, получаемого по методу усредненных косинусов в оптически плотных средах, не подтвердилось. Наличие коэффициента поглощения существенно улучшает качество решения в целом, даже в случае разрывных коэффициентов усредненных косинусов.

Проведенная серия численных расчетов показала, что для случая сферической симметрии в оптически плотных средах метод квазидиффузии дает немонотонный результат вблизи центра. Поскольку уравнение с усредненными косинусами не содержит члена $(3D - 1)/r$, точность решения в целом по методу усредненных косинусов получается выше точности решения, получаемого по методу квазидиффузии.

Для умеренных оптических толщин методы усредненных косинусов и квазидиффузии дают практически одинаковые результаты.

Авторы считают нужным отметить, что осциллирующее решение, получаемое по методу квазидиффузии, не означает, что данный метод неэффективен. Это связано лишь с тем, что авторы используют немонотонную разностную схему. Построение монотонных разностных схем для уравнения квазидиффузационного типа представляет определенные трудности, в то время как для усредненных косинусов просто построить монотонную схему типа TVD.

Список литературы

1. Исакова А. С., Карлыханов Н. Г. Сравнительный анализ квазидиффузационного подхода и метода усредненных косинусов для решения кинетического уравнения переноса излучения // Вопросы атомной науки и техники. Сер. Математическое моделирование физических процессов. 2013. Вып. 3. С. 16–29.
2. Карлыханов Н. Г. Применение метода квазидиффузии для решения задач переноса излучения // Там же. 2010. Вып. 1. С. 32–38.
3. Егорова А. С., Карлыханов Н. Г. Решение кинетического уравнения переноса излучения методом усредненных косинусов // Там же. 2011. Вып. 3. С. 29–38.
4. Зуев А. И. О трехслойной схеме для численного интегрирования уравнений газодинамики и нелинейного уравнения теплопроводности // Численные методы решения задач математической физики. М.: Наука, 1966. С. 230–236.
5. Гаджиев А. Д., Кондаков И. А., Писарев В. Н. и др. Метод дискретных ординат с искусственной диссиляцией (DDAD-схема) для численного решения уравнения переноса нейтронов // Вопросы атомной науки и техники. Сер. Математическое моделирование физических процессов. 2003. Вып. 4. С. 13–24.
6. Четверушкин Б. Н. Построение тестов и некоторые вопросы численного решения уравнения переноса нейтронов // Вычислительные методы в теории переноса / Под ред. акад. Г. И. Марчука. М.: Атомиздат, 1969. С. 189–201.
7. Osher S., Chakravarthy S. High resolution schemes and the entropy condition // SIAM J. Numer. Anal. 1984. Vol. 21 (5). P. 955–984.